



# Dependencia de un parámetro regulador de la depredación en un modelo tritrófico

Viviana Rivera Estay  
vivianarivera.mate@gmail.com

Proyecto para MAT-282  
Laboratorio de Modelamiento I



26 de Agosto 2016, Valparaíso, Chile.





## Motivación

*Estudiar la dependencia de un parámetro en la dinámica de un modelo tritrófico. Cuyo parámetro regula la depredación de una especie como alimento de otra especie.*



## Conocimientos previos

- Teoría de dinámica poblacional.
  - Teoría de Sistemas Dinámicos.
  - Teoría cualitativa de ecuaciones diferenciales.
  - Teoría de Bifurcaciones.
  - Conocimientos básicos de integración y continuación numérica.
  - Conocimientos básicos de **Matcont**, Matlab.
- 
- 



## Requisitos

- Tener instalado MatCont en su computadora.
- Ganas de aprender y trabajar.



## Un modelo tritrófico

$$X_\mu = \begin{cases} \dot{x} = rx \left(1 - \frac{x}{k}\right) - \left(\frac{qx^\alpha}{x^\alpha + a}\right)y - d_1xz, \\ \dot{y} = sy \left(1 - \frac{y}{nx}\right) - d_2yz, \\ \dot{z} = hz \left(1 - \frac{z}{c_1x + c_2y}\right), \end{cases} \quad (1)$$

- $x = x(t)$  presa de las especies  $z$  e  $y$ .
- $y = y(t)$  presa de la especie  $z$  y depredador específico de la especie  $x$ .
- $z = z(t)$  depredador generalista.
- $\mu = (r, k, q, a, d_1, s, n, d_2, h, c_1, c_2, \alpha) \in \mathbb{R}_+^{11} \times ]0, 1[$ .
- Dominio:  $\Omega = \{(x, y, z) \in \mathbb{R}^3 / x > 0, y \geq 0, z \geq 0\}$ .





## Reparametrización y reescalamiento del tiempo

### Teorema

El campo vectorial (1) es topológicamente equivalente al sistema (2) en  $\Omega$  y es una extensión continua a  $\bar{\Omega} = \{(u, v, w) \in \mathbb{R}^3 / u \geq 0, v \geq 0, w \geq 0\}$ ,

$$X_\eta = \begin{cases} \dot{u} = u(C_1u + C_2v)(u(1-u)(u^\alpha + A) - Qu^\alpha v - D_1u(u^\alpha + A)w), \\ \dot{v} = S(u-v)(u^\alpha + A)(C_1u + C_2v)v - D_2uvw(u^\alpha + A)(C_1u + C_2v), \\ \dot{w} = Huw(C_1u + C_2v - w)(u^\alpha + A), \end{cases} \quad (2)$$

donde  $\eta = (A, Q, S, H, C_1, C_2, D_1, D_2, \alpha) \in \Lambda = \mathbb{R}_+^8 \times ]0, 1[$ .





## Resultados Previos

Los siguientes **resultados analíticos** se obtuvieron en el trabajo de tesis

*”Dinámica de un modelo tritrófico con respuesta funcional no-diferenciable”.*

- El modelo tiene unicidad de soluciones.
- El equilibrio  $(1, 0, 0)$  es de tipo silla.
- El equilibrio  $\left(\frac{1}{1+C_1 D_1}, 0, \frac{C_1}{1+C_1 D_1}\right)$  puede ser un atractor o repulsor.
- El equilibrio  $(m, m, 0)$  puede ser un repulsor o un punto silla.
- El equilibrio  $(m, m, 0)$  exhibe una bifurcación de Hopf.





# Dinámica en el interior del primer octante





Se estudio la dinámica del modelo en el espacio de parámetros  $(Q, S)$  fijando el resto de los parámetros en los siguientes valores:

$\alpha = 0.2$	$C_1 = 0.8$	$C_2 = 0.2$	$D_1 = 0.2$	$D_2 = 0.3$	$A = 1.5$	$H = 0.7$
----------------	-------------	-------------	-------------	-------------	-----------	-----------

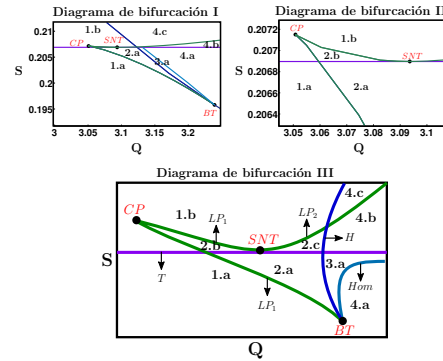
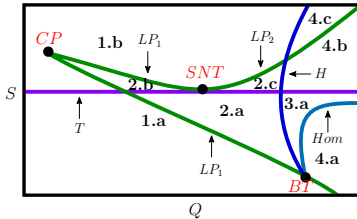
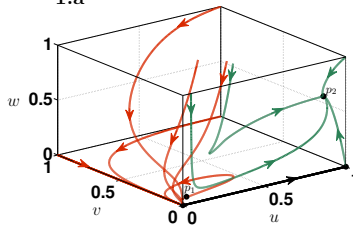


Figura : Diagrama de bifurcación en el espacio de parámetros  $(Q, S)$ .





(a) 1.a



(b) 2.a

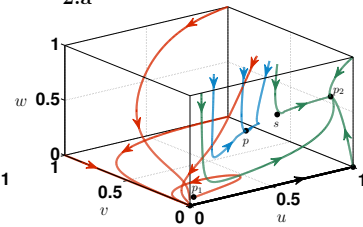
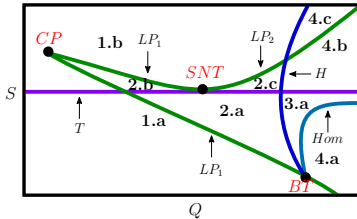
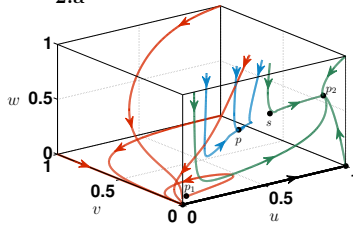


Figura : Retratos de fase del sistema (2). En (a) para  $(Q, S) \in 1.a$ . En (b) para  $(Q, S) \in 2.a$ .

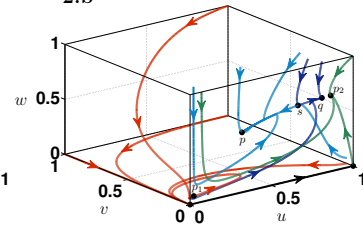




(a) 2.a

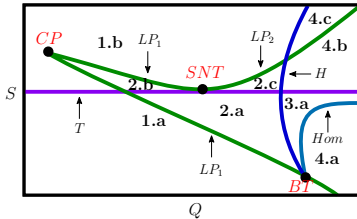


(b) 2.b

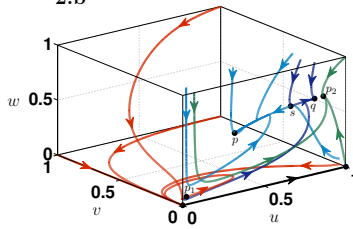


**Figura :** Retratos de fase del sistema (2). En (a) para  $(Q, S) \in \mathbf{2.a}$ . En (b) para  $(Q, S) \in \mathbf{2.b}$ .





(a) 2.b



(b) 1.b

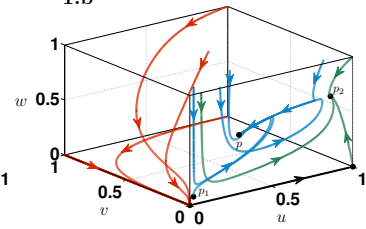
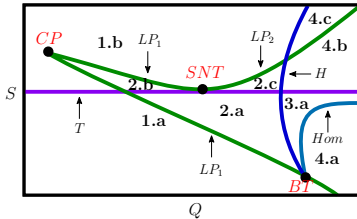
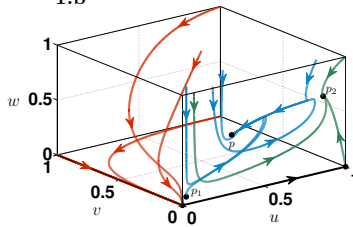


Figura : Retratos de fase del sistema (2). En (a) para  $(Q, S) \in 2.b$ . En (b) para  $(Q, S) \in 1.b$ .





(a) 1.b



(b) 4.c

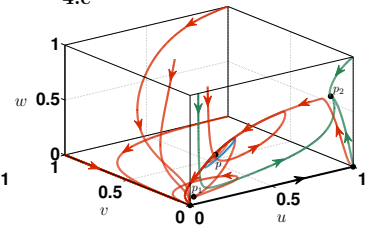
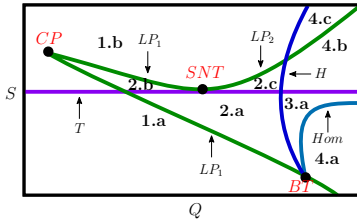
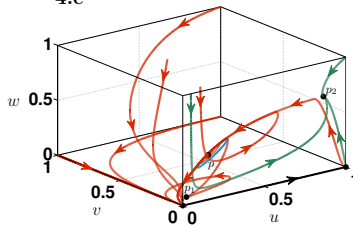


Figura : Retratos de fase del sistema (2). En (a) para  $(Q, S) \in 1.b$ . En (b) para  $(Q, S) \in 4.c$ .





(a) 4.c



(b) 3.a

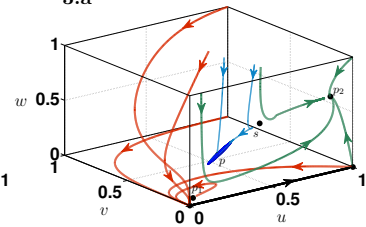
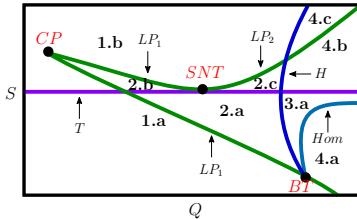
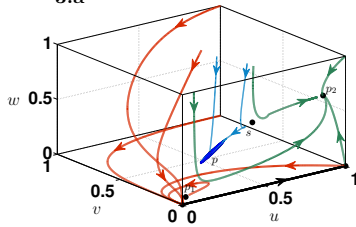


Figura : Retratos de fase del sistema (2). En (a) para  $(Q, S) \in 4.c$ . En (b) para  $(Q, S) \in 3.a$ .





(a) 3.a



(b) 4.a

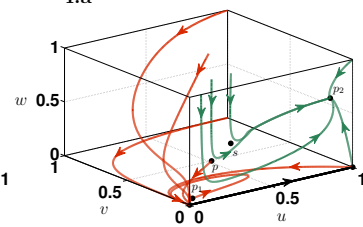
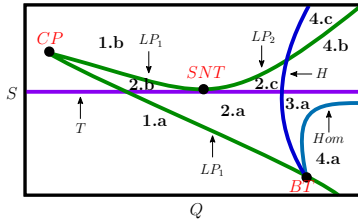
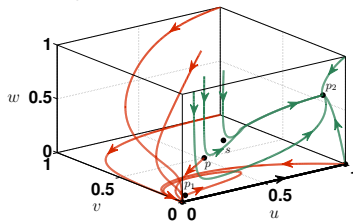


Figura : Retratos de fase del sistema (2). En (a) para  $(Q, S) \in 3.a$ . En (b) para  $(Q, S) \in 4.a$ .





(a) 4.a



(b) 1.a

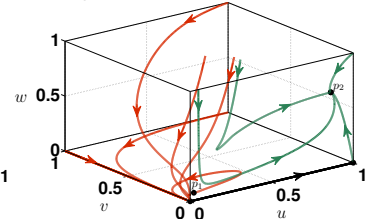


Figura : Retratos de fase del sistema (2). En (a) para  $(Q, S) \in 4.a$ . En (b) para  $(Q, S) \in 1.a$ .

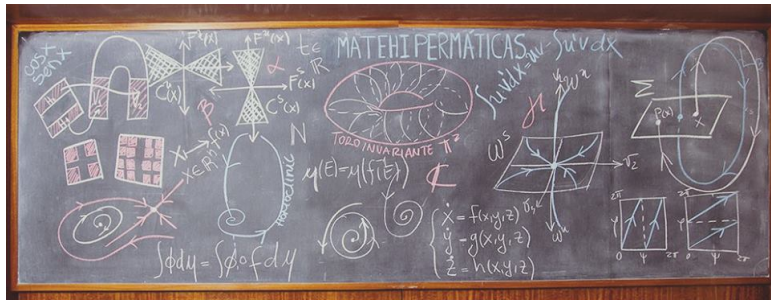




## Objetivos

- Construir diagramas de bifurcación para distintos valores del parámetro  $\alpha \in ]0, 1[$ .
- Determinar la influencia de este parámetro en el modelo.

# Apéndice



## MATEHIPERMÁTICAS



<http://www.matehipermaticas.cl>



## Referencias

-  E. SÁEZ AND E. GONZÁLEZ-OLIVARES, *Dynamics on a predator-prey model*, SIAM Journal of Applied Mathematics 59, 1999.
  -  P. TURCHIN, *Complex population dynamics. A theoretical/empirical synthesis*, Mongraphs in Population Biology 35, Princeton University Press, 2003.
  -  Y. KUZNETSOV, *Elements of Applied Bifurcation Theory Second Edition*, Springer.
  -  J. GUCKENHEIMER, P. HOLMES, *Nonlinear Oscillations, Dynamical Systems and Beifurcation of Vector Fields. Second Edition*, 1985.
  -  B. DENG, *Equilibriumizing all food chain through reproductive efficiency*, CHAOS, 2006
  -  E. SÁEZ, E. STANGE, E. GONZÁLEZ-OLIVARES AND M. FALCONI, *Chaotic dynamics and coexistence in a three species interaction model*, International Journal of Biomathematics, 2015
- 
- 



GRACIAS

